

Уртуйское месторождение

В.Е.Анферов, П.А.Котов, Т.М.Плотникова

Уртуйское флюоритовое месторождение входит в Урулунгуй-Уровскую минерагенетическую зону Монголо-Забайкальского флюоритового пояса*. Оно находится в Краснокаменском районе Читинской области, в 25 км от районного центра Краснокаменск и в 50 км от ст. Урулунгуй ветки Харанор - Приаргунск Забайкальской железной дороги.

Первооткрыватель месторождения – геолог Х.Д.Лем, проводивший в 1953-1955 гг. геолого-съемочные работы масштаба 1:50 000 в междуречье Артуни и Урулунгуй. Разведка месторождения завершена в 1987 г. По разведочным данным запасы его по категориям В+С₁+С₂ составляют около 11 млн т руды со средним содержанием флюорита 28,8%, в том числе прогнозных ресурсов руд (Р₁) 0,8 млн т. Общие же запасы руд Уртуйского рудного поля оцениваются в 12,2 млн т.

В геологическом изучении рудного поля и месторождения принимали участие В.Е.Анферов, А.А.Киселев, В.М.Луканчев, А.П.Номоконов и др. Их материалы и легли в основу данного очерка.

Геологическое строение рудного поля

В структурном отношении рудное поле приурочено к верхнемезозойской депрессионной зоне северо-восточного простирания в пределах Урулунгуйского остаточного жесткого массива. Площадь поля (15 км²) сложена осадочными и магматическими породами. Наиболее древние из них – верхнепротерозойские геосинклинальные отложения надаровской свиты представлены переслаивающимися пачками песчаников и алевролитов или песчанистых алевролитов с маломощными, порядка 0,5-0,7 м, прослоями кварцитов и кварц-серicitовых сланцев; в более молодых магматических породах палеозоя они образуют ксенолиты. В окрестностях рудного поля, по данным Х.Д.Лема и Н.А.Трушевой, имеются и небольшие выходы на поверхность докембрийских известняков. Значительно шире распространены магматические образования (среди них с акцессорным флюоритом до 100 г/т) среднепалеозойского субвулканического (кварцевые и риолитовые порфиры, микогранит-порфиры) и позднепалеозойского ундинского интрузивного (граниты, реже гранодиориты) комплексов. В юго-восточной части рудного поля, в Уртуйском грабене, развиты исключительно вулканогенно-осадочные породы (конгломераты, андезиты, андезито-базальты и их туфы, лавобрекчи и пр.), относящиеся, по А.П.Номоконову, к средне-верхнеюрской айрыкской свите шадоронской серии. Общая мощность свиты не менее 880 м. Позднеюрский субвулканический комплекс представлен

дайками андезитов, андезито-базальтов, реже диабазов и габбро-диабазов. После завершения магматической деятельности, очевидно, длительное время шло образование гидротермолов – вначале существенно кварцевых, а позднее и кварцевых флюоритоносных. Мощность четвертичного рыхлого покрова различна – от десятков сантиметров на водоразделах до 40 м в крупных падях.

В геологическом строении рудного поля существенную роль играют разрывные нарушения. Они разделяют тектонические блоки, контролируют размещение магматических и гидротермальных образований. Наиболее крупная тектоническая структура рудного поля – Уртуйский грабен, ограниченный с СЗ и ЮВ сбросами – соответственно Уртуйским-I и Уртуйским-II, входящими в Аргунскую зону субпараллельных глубинных разломов древнего заложения. Грабен неширокой полосой (600 м, а на СВ, близ его замыкания, 200 м) протяженностью 3 км пересекает рудное поле с ЮЗ на СВ. Разлом Уртуйский-I протягивается от рудного поля далеко на ЮЗ, до рудника Абагайтуй, и к СВ, имея общую длину более 60 км. На площади поля он, как и разлом Уртуйский-II, имеет выдержанное северо-восточное (45-50°) простижение и крутые (70-85°) до вертикального падение на СЗ. Мощность разлома от долей метра до 130 м, с глубиной в целом увеличивается. Разлом Уртуйский-II, как и Уртуйский-I, прослеживается вдоль контакта палеозойских и юрских образований к ЮЗ от рудного поля на 14-15 км, а северо-восточнее последнего причленяется к разлому Уртуйский-I. Флюоритоносность разломов различна: в Уртуйском-I локализовано Уртуйское месторождение, а в Уртуйском-II установлена лишь непромышленная флюоритовая минерализация.

Прочие разрывные нарушения, исходя из их простириания, делятся, по А.А.Киселеву, на три группы: 1) ССВ 10-30° (взбросы, реже сбросы); 2) СЗ-ССЗ 295-350° (в основном трещины скола, частично трансформированные из трещин отрыва); 3) ЮВЮ-Ю 70-90° (ступенчатые сбросо- и взбрососдвиги с амплитудами смещения по ним до 60-80, иногда до 150 м). Длина разрывных структур двух первых групп от первых сотен метров до первых километров, а третьей группы – до 5-6 км. Мощность зон нарушений от долей метра до нескольких метров, реже до 15-20 м. Углы падения всех структур крутые – от 60-70 до 85-87°. В зонах дислокаций проявлены брекчирование, катаклаз, местами милонитизация пород. Дайки среднего и основного состава, как и рудопроявления флюорита, локализованы преимущественно в структурах 2-й группы, высокотемпературные кварц-серicitовые метасоматиты –

* Зона является северо-восточным флангом Южной минерагенетической зоны пояса на территории Восточной Монголии (Храпов, 1976).

в зонах нарушений 3-й группы мощностью до 12 м, кварцевые и адуляр-кварцевые жилы, в том числе слабофлюоритоносные, – в тектонических зонах всех направлений.

Особенности Уртуйского месторождения и рудопоявлений

Месторождение практически полностью локализовано в зоне разлома Уртуйский-I – крупного разрывного нарушения сбросового типа. Амплитуда смещения по сбросу юго-восточного опущенного блока предположительно не менее 700 м. Мощность зоны разлома на месторождении от долей метра до 100 м. В зоне его широко распространены дорудные гидротермальные метасоматиты – кварц-сертицитовые с содержанием кварца и слюды в сопоставимых количествах и кварцевые, содержащие до 90% кварца, сертицит, рудный минерал, реже галенит. Метасоматиты, размещение которых контролируется разрывными нарушениями, образуют линзы длиной 40–150 м и мощностью 3–9, иногда до 25 м, а в эфузивно-осадочной толще – участки размером до 100×30 м. Контакты метасоматически измененных пород, как правило, нерезкие, постепенные. Месторождение возникло в результате более поздних разрывных дислокаций и гидротермальной деятельности. В него входят девять промышленных рудных

тел. В юго-западной части месторождения находится самое крупное рудное тело № 1 (48,5% запасов руд). Остальные рудные тела, субпараллельные друг другу, расположены северо-восточнее (рис.1). Они приурочены к внутриразломным тектоническим нарушениям и представлены жилообразными минерализованными зонами брекчий из обломков дорудных пород на кварц-флюоритовом, кварц-адуляре-флюоритовом, реже кварц-адуляре-каолинит-флюоритовом цементе. Контакты их с вмещающими породами нечеткие, исключая участки рудных тел, сложенных массивным кристаллическим флюоритом или тонкозернистым кварц-флюорит-адуляровым агрегатом. Для рудных тел характерно наличие раздузов (рудные столбы) и пережимов по простиранию и падению, а внутри них – прослои пониженно флюоритоносных руд и слабооплавленных ксенолитов вмещающих пород (рис.2). Мощность таких прослоев от нескольких сантиметров до 3 м. При выклинивании рудных тел наблюдаются переходы руд в кварцевые и кварц-адуляровые окончания или в неминерализованные зоны дробления пород. Для рудных тел типично умеренно пологое (25–40°) склонение к ЮЗ. Из-за склонения “слепая” часть большинства рудных тел заметно длиннее, чем поверхностная. Отдельные тела (№ 2A, 5, 5A) выходят на дневную поверхность не имеют. По параметрам оруденения (таблица)

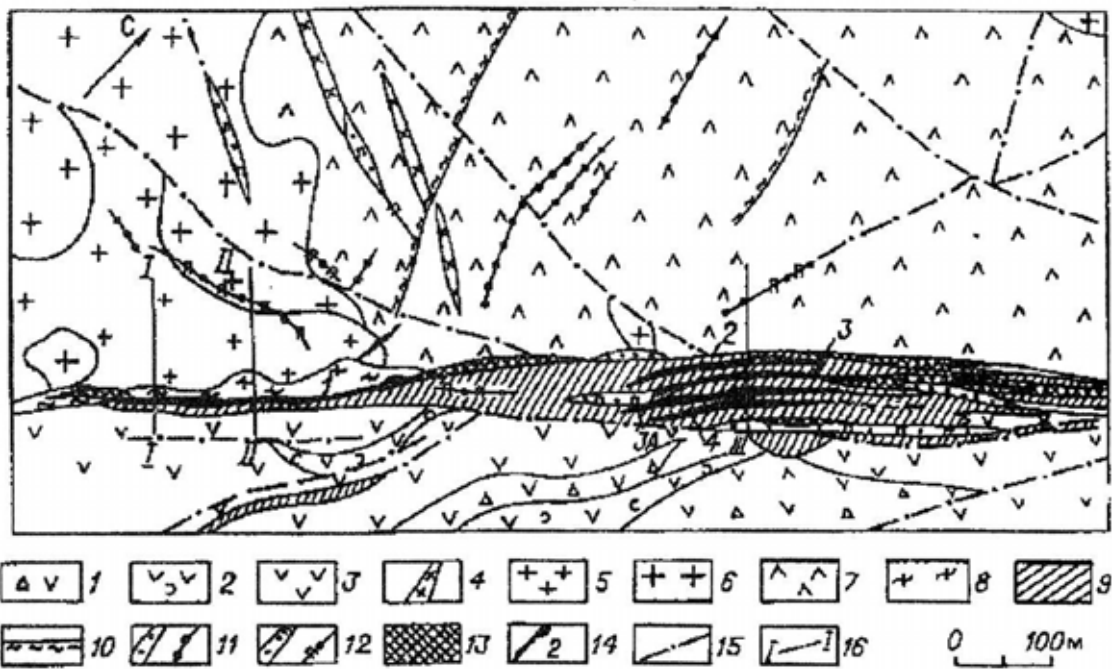


Рис.1. Схема геологического строения Уртуйского рудного поля (фрагмент):

1-3 – вулканогенные породы верхней подсвиты средне-верхненюрской айрыкской свиты шадоронской серии: 1 – лавобрекчи, 2 – туфы, туфолавы, 3 – андезиты; 4 – диоритовые порфириты, андезито-базальты поздненюрского субвулканического дайкового комплекса; 5, 6 – позднепалеозойский ундинский интрузивный комплекс: 5 – граниты мелко-среднезернистые порфировидные третьей фазы, 6 – граниты биотитовые лейкократовые разнозернистые порфировидные второй фазы; 7 – кварцевые порфирь среднепалеозойского уртуйского субвулканического комплекса; 8 – верхнепротерозойские алевролиты, песчаники кварцитовидные, сланцы кварц-сертицитовые надаровской свиты; 9 – кварц-сертицитовые метасоматиты; 10 – милониты; 11 – кварцевые жилы; 12 – кварц-адуляровые тела; 13 – жилообразные минерализованные зоны брекчий вмещающих пород на кварцевом и кварц-флюоритовом цементе; 14 – рудные тела Уртуйского месторождения с содержанием флюорита более 15% и их номера; 15 – разрывные нарушения; 16 – линии разрезов через рудные тела

отмечается значительная разница между рудным телом № 1 и остальными известными на месторождении.

Средние значения коэффициентов вариации мощности и содержания, подсчитанные по основным рудным телам месторождения, соответственно равны 87 и 31%. Исходя из этих цифр, по В.М.Крейтеру (1964), изменчивость оруденения по мощности является неравномерной, а по содержанию – равномерной. Меньшая выдержанность мощности рудных тел сравнительно с вариациями содержаний в них флюорита – характерная черта не только Уртуйского, но в целом и других флюоритовых месторождений Забайкалья.

Помимо месторождения, в рудном поле известны десять рудопроявлений флюорита. Они расположены в северо-западном борту Уртуйского грабена, в разрывных структурах, секущих палеозойские гранитоиды. В рудопроявлениях обычно 1-2, редко больше рудных тел. Длина их от 50 до 500 м, мощность десятки сантиметров – первые метры, содержания флюорита находятся в среднем на уровне 40–45%. В рудопроявлениях заключено от десятков тысяч до сотен тысяч тонн флюоритовых руд. Запасами (C_2) более 100 тыс.т обладают лишь четыре рудопроявления из десяти. Суммарные запасы всех рудопроявлений примерно в 10 раз меньше, чем рудных тел Уртуйского месторождения.

Рудолокализующие разрывные структуры месторождения и рудопроявлений ориентированы в северных румбах, в угловом интервале ССЗ 335° –СВ 45° . Что касается особенностей размещения оруденения в рудном поле, то около 21% рудных тел при-

урочено к контактам гранитоидов с эфузивно-осадочной толщей и разновозрастных гранитоидов между собой, 31% – к тектоническим нарушениям в эфузивно-осадочных образованиях, 48% – к разрывным структурам в гранитоидах. Примерное соотношение запасов руд в перечисленных группах – 10:11:1.

В рудном поле широко проявлены окорудунные изменения пород. Непосредственно с флюоритообразованием связаны окварцевание, оплавиковение, калишпатизация, аргиллизация (в основном каолинизация). Мощность зон измененных пород различна – от долей метра до десятков метров. В случаях, когда рудные тела приурочены к разрывным структурам, возникшим в синрудное время, изменения рудовмещающих пород не фиксируются.

Рудные тела месторождения и рудопроявлений образовались в результате постмагматических процессов второй стадии позднемезозойской ТМА (Щеглов, 1980). При обосновании возраста флюоритовой минерализации нами были учтены следующие данные. Рудные тела Уртуйского месторождения локализованы в средне-верхнеюрских отложениях. В рудном поле известны и позднеюрские дайки среднего и основного состава с кварцевыми и флюоритовыми прожилками. Таким образом, возраст флюоритоносных гидротермоловитов не древнее конца поздней юры. В нижнемеловых породах как вблизи Уртуйского месторождения, так и на остальной территории Восточного Забайкалья флюоритовое оруденение не обнаружено. По большинству радиологических определений возраста флюоритовой минерализа-

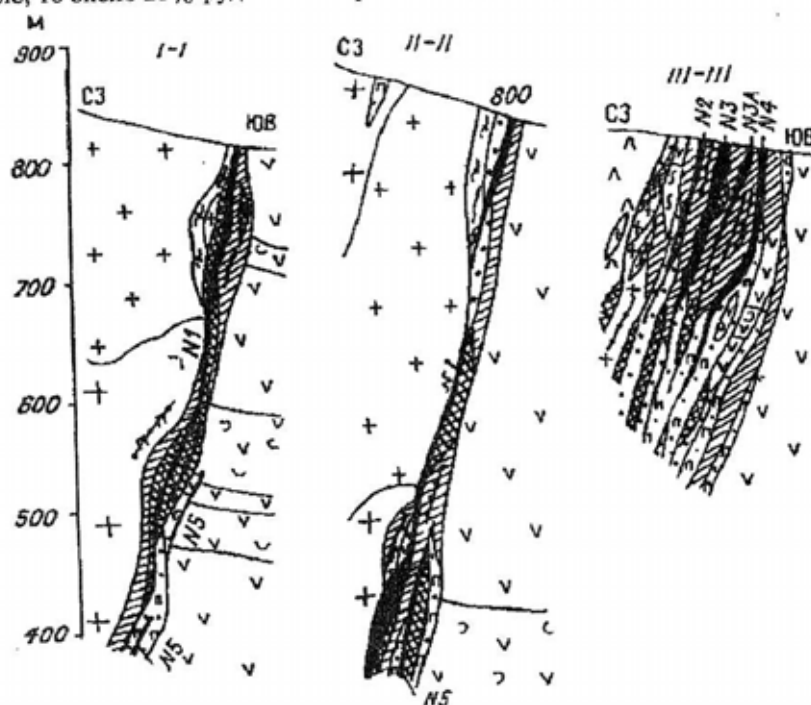


Рис.2. Строение рудных тел Уртуйского месторождения (по данным горно-буровых работ)
Условные обозначения см. на рис.1

Параметры рудных тел Уртуйского месторождения

Но- мер тела	Азимуты простира- ния, град	Углы паде- ния, град	Длина, м		Мощность, м	Содер- жание флюо- рита, %	Доля запа- сов руд, %
			по прости- ранию	по падению			
1	<u>22–52*</u>	<u>68–90</u>	<u>190–1210</u>	<u>105–460</u>	<u>0,5–21,9</u>	<u>4,8–65,6</u>	48,5
	45	78	600	260	4,1	30,6	
2	<u>10–65</u>	<u>65–87</u>	<u>95–265</u>	<u>30–285</u>	<u>0,6–14,7</u>	<u>16,4–43,4</u>	9,9
	35	74	180	150	5,0	25,5	
2A	<u>10–65</u>	<u>69–74</u>	<u>70–165</u>	<u>15–185</u>	<u>0,5–15,1</u>	<u>18,4–54,8</u>	2,8
	35	72	90	155	4,1	26,6	
3	<u>10–65</u>	<u>67–82</u>	<u>60–265</u>	<u>20–215</u>	<u>0,6–22,4</u>	<u>16,3–51,5</u>	9,9
	35	74	165	165	5,4	27,2	
3A	<u>10–65</u>	<u>63–82</u>	<u>170–265</u>	<u>25–210</u>	<u>0,6–17,5</u>	<u>14,3–46,9</u>	5,9
	35	74	210	150	4,1	25,9	
4	<u>10–65</u>	<u>68–85</u>	<u>90–180</u>	<u>25–220</u>	<u>0,8–12,2</u>	<u>18,3–40,2</u>	5,2
	35	75	130	130	3,5	25,2	
5	<u>40–42</u>	<u>73–90</u>	<u>100–500</u>	<u>30–220</u>	<u>0,5–12,9</u>	<u>19,6–63,6</u>	13,3
	41	78			3,1	25,8	
5A	<u>40–42</u>	<u>73–80</u>	<u>100–335</u>	<u>40–250</u>	<u>0,7–5,4</u>	<u>21,2–36,4</u>	3,2
	41	76			1,7	25,3	
6	7	<u>65–70</u>	<u>95–210</u>	<u>45–170</u>	<u>0,7–4,2</u>	<u>22,0–36,3</u>	1,3
	7	67	150	105	2,0	28,8	

* Во всех графах в числителе – интервал значений параметров, в знаменателе – среднеарифметическое последних.

ции калий-argonовым методом по адуляру, выполненных для Абагайтуйского и Ново-Бугутурского месторождений Ю.П.Дорошенко и Г.Н.Комаровой, время формирования флюоритовых месторождений Юго-Восточного Забайкалья, в том числе Уртуйского, может быть принято раннемеловым. А.А.Ивановой (1974) для Восточного Забайкалья сделан вывод о парагенетической связи флюоритового оруденения с раннемеловым абагайтуйским субвулканическим базальт-липаритовым комплексом. Однако в Уртуйском рудном поле и его окрестностях субвулканические образования этого комплекса не выявлены, поэтому вопрос о связи оруденения с магматизмом остается открытым.

Гидротермальная деятельность, проявленная в Уртуйском рудном поле, проходила в два этапа – до-рудный и рудный. Продукты первого этапа – жилы высокотемпературного кварца, кварц-серicitовые и существенно кварцевые метасоматиты в породах грабена. Последующий рудный этап, протекавший в температурном интервале 250–105 °C, разделяется на четыре стадии минерализации.

В первую стадию возникли прожилки мелкозернистого до скрыто-кристаллического халцедоновидного кварца, нередко с вкрапленностью сульфидов –

халькопирита, пирита, галенита, сфалерита. В отличие от первой, более поздние стадии – флюоритоносные:

кварц-флюоритовая (250–165 °C) – ранний массивный кристаллический бледно-зеленый флюорит, иногда нечетчально полосчатый, и брекчии из обломков его, сцементированных светло-фиолетовым флюоритом и серым халцедоновидным кварцем;

адуляр-флюорит-кварцевая (230–130 °C), наиболее продуктивная на месторождении, – мелко- и тонкозернистые агрегаты сиреневого флюорита и серого кварца или адуляра, кварца и флюорита, служащие цементом в брекчиях из обломков более ранних гидротермоловитов, а кроме брекчий, типичны тонкополосчатые, кокардовые и крустификационные образования;

каолинит-флюорит-кварцевая (205–104 °C) – фиолетовый флюорит, образующий маломощные прожилки, нередко с зернами пирита, также редкую вкрапленность в адуляре и выделения фарфоровидного и мелкозернистого голубовато-зеленого флюорита; в эту же стадию кристаллизовался гребенчатый кварц в виде прожилков и мелкокристаллических щеток на стенках пустоток.

Руды Уртуйского месторождения в основном состоят из кварца и флюорита (87-92% объема жильной массы). В подчиненном количестве (в сумме 7-12%) в них содержатся адуляр, каолинит, серицит, гидрослюды и гидроокислы железа. В число редких минералов входят кальцит, апатит и сульфиды – пирит, галенит, сфалерит, халькопирит. Вредные примеси – фосфор, сера и др. – присутствуют в незначительных количествах. Геологами-разведчиками Уртуйское месторождение отнесено к кварц-флюоритовому минеральному типу.

Прогнозные ресурсы руд (P_2+P_3) Уртуйского рудного узла, исключая рудное поле, подсчитаны в

количестве 3,5 млн т. Таким образом, в окрестностях рудного поля возможно выявление флюоритовых тел с промышленным оруднением.

Литература

- Иванова А.А. Флюоритовые месторождения Восточного Забайкалья. – М.: Недра, 1974. – 208 с.
Крейтер В.М. Поиски и разведка месторождений полезных ископаемых. – М.: Недра, 1964. – 399 с.
Храпов А.А. Основные закономерности размещения и генетические типы флюоритовых месторождений Монголии// Флюорит. – М.: Наука, 1976. – С. 235-240.

* * *